

U.S. DEPARTMENT OF COMMERCE  
PATENT AND TRADEMARK OFFICE

COPY OF PAPER  
ORIGINALLY FILED

**CLAIM TO CONVENTION PRIORITY  
UNDER 35 U.S.C. § 119**

Docket Number:  
**10191/2092**

Conf. Number:  
**5175**

Application Number  
**10/066,851**

Filing Date  
**February 4, 2002**

Examiner  
**To be assigned**

Art Unit  
**2812**

Invention Title  
**MICROMECHANICAL COMPONENT AS  
WELL AS A METHOD FOR PRODUCING  
A MICROMECHANICAL COMPONENT**

Inventor(s)  
**Frank FISCHER et al.**

Address to:  
Commissioner for Patents  
Washington D.C. 20231

I hereby certify that this correspondence is being deposited with the United States Postal Service as first class mail in an envelope addressed to: Commissioner for Patents, Washington, D.C. 20231 on

Date: **8/28/02**

Signature:

**B. DiSonna**  
**Bernadette DiSonna**

A claim to the Convention Priority Date pursuant to 35 U.S.C. § 119 of Application No. 101 04 868.8 filed in the German Patent Office on February 3, 2001 is hereby made. To complete the claim to the Convention Priority Date, a certified copy of the priority application is attached.

Dated:

**8/28/02**

By:

By: **[Signature]**  
**Richard L. Mayer (Reg. No. 22,490)**

KENYON & KENYON  
One Broadway  
New York, N.Y. 10004  
(212) 425-7200 (telephone)  
(212) 425-5288 (facsimile)

**CUSTOMER NO. 26646**  
PATENT TRADEMARK OFFICE

© Kenyon & Kenyon 2002



## Prioritätsbescheinigung über die Einreichung einer Patentanmeldung

**Aktenzeichen:** 101 04 868.8

**Anmeldetag:** 03. Februar 2001

**Anmelder/Inhaber:** ROBERT BOSCH GMBH,  
Stuttgart/DE

**Bezeichnung:** Mikromechanisches Bauelement sowie ein  
Verfahren zur Herstellung eines mikromechanischen  
Bauelements

**IPC:** B 81 B, B 81 C

Die angehefteten Stücke sind eine richtige und genaue Wiedergabe der ursprünglichen Unterlagen dieser Patentanmeldung.

München, den 22. November 2001  
Deutsches Patent- und Markenamt  
Der Präsident  
Im Auftrag

**BEST AVAILABLE COPY**

Wallner

ROBERT BOSCH GMBH

Postfach 30 02 20

D-70442 Stuttgart

5

-----  
Mikromechanisches Bauelement sowie ein Verfahren zur  
Herstellung eines  
mikromechanischen Bauelements  
-----

10

Stand der Technik

- 15 Die Erfindung geht aus von einem mikromechanischen Bauelement  
und einem Verfahren zur Herstellung eines mikromechanischen  
Bauelements nach der Gattung der betreffenden unabhängigen  
Patentansprüche. In der DE 195 37 814 A1 wird der Aufbau eines  
Sensor-Schichtsystems und ein Verfahren zur hermetischen  
20 Verkappung von Sensoren in Oberflächenmikromechanik  
beschrieben.

Vorteile der Erfindung

- 25 Das erfindungsgemäße Bauelement sowie das erfindungsgemäße  
Verfahren mit den kennzeichnenden Merkmalen der betreffenden  
unabhängigen Patentansprüche hat demgegenüber insbesondere den  
Vorteil, daß ein kompaktes und langzeitstabiles Bauelement  
kostengünstiger hergestellt werden kann. Durch die in den  
30 abhängigen Patentansprüchen aufgeführten Maßnahmen sind  
vorteilhafte Weiterbildungen und Verbesserungen des  
Bauelements und des Verfahrens nach den betreffenden  
unabhängigen Patentansprüchen ermöglicht.
- 35 Das erfindungsgemäße Bauelement zeichnet sich ggü. bekannten  
Bauelementen durch einen robusten Schichtaufbau und durch eine  
deutliche Reduzierung der für das Verkappen benötigten Fläche

aus, was aufgrund der Flächeneinsparung mit einer signifikanten Kostenreduzierung einhergeht.

Ein wesentlicher Aspekt der Erfindung besteht darin, daß eine  
5 Kappe die Funktionstrukturen überdeckt, wobei die Kappe mit  
der strukturierten Schicht mittels eines anodisch bondbaren  
Glases bzw. eines Bondglases verbunden ist. Bevorzugt weist  
die durch das anodisch bondbare Glas erfindungsgemäß gebildete  
Verbindungsschicht eine Dicke im Bereich von 300 nm bis 100  
10 µm, insbesondere eine Dicke im Bereich von 300 nm bis 50 µm,  
auf. Durch das anodisch bondbare Glas läßt sich in einfacher  
Weise eine mechanisch sehr stabile Verbindung zwischen der  
Kappe und der strukturierten Schicht bei ggü. dem Stand der  
Technik deutlich verringerter Verbindungsfläche herstellen.  
15 Bei einer Massenfertigung, bei der das erfindungsgemäße  
mikromechanische Bauelement mehr als tausendfach auf einem  
Wafer bzw. Substrat gebildet wird, ergibt sich demzufolge eine  
ganz erhebliche Flächeneinsparung bzw. erheblich verbesserte  
Ausnutzung eines Wafers.

20

Indem erfindungsgemäß bevorzugt ein anodisch bondbares Glas  
mit einer Dicke im Bereich von 300 nm bis 100 µm gewählt oder  
eigens aus einem dickeren Glas-Wafer hergestellt wird, lassen  
sich die erfindungsgemäß auf einem Wafer gebildeten  
25 mikromechanischen Bauelemente mit jeweils einem einzigen  
Sägeschnitt durch den gesamten Schichtaufbau des  
mikromechanischen Bauelements vereinzeln. Dies ist möglich,  
weil ein herkömmliches Sägeblatt zum Aussägen der  
mikromechanischen Bauelemente aus dem Wafer auch das anodisch  
30 bondbare Glas der genannten Dicke ohne Beschädigung des  
Sägeblatts oder des Bauelements durchtrennen kann. Beim Stand  
der Technik war es bisher notwendig mit einem ersten Sägeblatt  
einen Sägeschnitt bis zur Verbindungsschicht vorzunehmen, mit  
einem zweiten Sägeblatt die Verbindungsschicht zu durchtrennen  
35 und nachfolgend erneut mit dem ersten Sägeblatt das

BEST AVAILABLE COPY

mikromechanische Bauelement vollständig zu durchtrennen bzw. zu vereinzeln.

Bei einer bevorzugten Ausführungsform der Erfindung wird ein  
5 Bondglas verwendet, das über eine definierte Ionenkonzentration verfügt, um dieses anodisch bonden zu können, was nachfolgend näher erläutert werden wird. Als Bondgläser haben sich insbesondere Gläser bewährt, die Alkalisilikat und/oder Borsilikat aufweisen.

10

Ein weiterer wesentlicher Aspekt der Erfindung besteht darin, in dem Substrat des mikromechanischen Bauelements einen Anschlußbereich zur externen Kontaktierung der Funktionsstrukturen vorzusehen. Bevorzugt wird der  
15 Anschlußbereich durch einen durch Gräben gebildeten Isolationsrahmen gegenüber dem Substrat elektrisch isoliert. Der Anschlußbereich kann unmittelbar neben oder auch unter einem Stützelement in dem Substrat vorgesehen sein, um die für das mikromechanische Bauelement erforderliche Substratfläche  
20 bzw. dessen Volumen, insbesondere aus Kostengründen, zu minimieren.

Bekannt ist die externe Kontaktierung der Funktionsstrukturen  
über eine in der Kappe vorgesehene trichterförmige Öffnung,  
25 die sich von den Funktionsstrukturen weg ausdehnt. An einer solchen externen Kontaktierung ist insbesondere von Nachteil, daß der beim Sägen bzw. Vereinzeln der mikromechanischen Bauelemente aus dem Wafer entstehende Sägeschlamm in die trichterförmige Zugangsöffnung gelangt. Die trichterförmige  
30 Zugangsöffnung in der Kappe läßt sich nur mit erheblichem Aufwand von dem Sägeschlamm reinigen. Nicht ausgewaschene Reste des Sägeschlammes führen zu Nebenschlüssen, was zu einem Ausfall des betreffenden mikromechanischen Bauelements führen kann.

BEST AVAILABLE COPY

Indem der Anschlußbereich zur externen Kontaktierung der Funktionsstrukturen in erfindungsgemäße Weise in dem Substrat geschaffen wird, läßt sich insbesondere bei einer Substratdicke im Bereich von ca. 80 µm bis 150 µm,

5 vorzugsweise ca. 80 µm bis 100 µm, das Verfahren des Plasmaätzens bzw. Trenchätzens verwenden. Hiermit können schmale, tiefe Gräben zur Bildung eines Isolationsrahmens hergestellt werden, die sich weitgehend senkrecht von der Substratunterseite bis zur Funktionsschicht erstrecken. Die  
10 Wahl der Dicke des Substrats wird sich insbesondere an der erforderlichen mechanischen Stabilität des mikromechanischen Bauelements und an der maximal möglichen Tiefe der Gräben orientieren, bis zu der schmale Gräben, z.B. durch Trenchätzen, hergestellt werden können. Diese Gräben bzw. der  
15 durch die Gräben gebildete Isolationsrahmen wird erfindungsgemäß mit einem Dielektrikum im Bereich der Substratunterseite verschlossen, das den Anschlußbereich, der einen Teil des Substrats bildet, gegenüber dem Substrat elektrisch isoliert.

20

Einen anderer wesentlicher Aspekt der Erfindung besteht darin, durch Ätzen ein Sackloch zu bilden, das weitgehend senkrecht durch das Substrat, die strukturierte Schicht, und die Verbindungsschicht bis zur Kappe verläuft, wobei der Boden des  
25 Sacklochs im Bereich der Kappe und die Öffnung des Sacklochs an der Seite des Substrats vorgesehen ist, die von den Funktionsstrukturen abgewandt ist. Bevorzugt wird das Sackloch bzw. der Durchgang auf seiner Bodenfläche und an seinen Wandflächen mit einer Leitschicht versehen, so daß eine  
30 elektrische Verbindung zwischen der Kappe, der strukturierten Schicht und dem Substrat gegeben ist. Bevorzugt wird das Sackloch bzw. der Durchgang nach der Herstellung der Leitschicht vollständig mit einer Füllschicht aufgefüllt. Indem die Leitschicht erfindungsgemäß auf ein definiertes  
35 elektrisches Potential gelegt wird, vorzugsweise Masse, werden

BEST AVAILABLE COPY



Potentialunterschiede zwischen der Kappe, der strukturierten Schicht und dem Substrat und damit potentielle Störspannungen vermieden.

- 5 Falls die mechanische Stabilität des erfindungsgemäßen mikromechanischen Bauelements unzureichend ist, kann zwischen dem Substrat und der Kappe mindestens ein Stützelement vorgesehen werden, wobei das Stützelement vorzugsweise durch Ätzen der Funktionsschicht, vorzugsweise weitgehend in der  
10 Mitte des von der Kappe abgedeckten Hohlraums, gebildet wird.

- Ein weiterer wesentlicher Aspekt der Erfindung besteht in der Verwendung eines Verfahrens zur Herstellung eines mikromechanischen Bauelements bei der die strukturierte  
15 Schicht, die Funktionstrukturen aufweist, mit einer Kappe über einer Verbindungsschicht verbunden wird. Das Material der Verbindungsschicht wird bevorzugt derart gewählt, daß durch das Anlegen einer elektrischen Spannung zwischen dem Substrat und der Kappe des mikromechanischen Bauelements eine chemische  
20 Verbindung sowohl zwischen der Verbindungsschicht und der strukturierten Schicht als auch zwischen der Verbindungsschicht und der Kappe, vorzugsweise insbesondere im Randbereich des zwischen der Kappe und den Funktionsstrukturen gebildeten Hohlraums, herbeigeführt wird (anodisches Bonden).  
25 Bevorzugt wird hierbei zumindest der Verbindungsbereich erwärmt. Die Verbindung zwischen der Kappe und der der Kappe zugewandten Seite der Verbindungsschicht erfolgt bevorzugt in einem ersten Schritt und die Verbindung zwischen der der strukturierten Schicht und der der strukturierten Schicht  
30 zugewandten Seite der Verbindungsschicht erfolgt in einem separaten, zweiten Schritt.

Bevorzugt werden die Verbindungsstellen vor dem anodischen Bonden chemisch und/oder mechanisch so vorbehandelt, daß sie

BEST AVAILABLE COPY

eine geringe Oberflächenrauheit aufweisen, die vorzugsweise etwa 40 nm oder weniger beträgt.

Schließlich zeichnet sich das erfindungsgemäße Bauelement durch eine niedrige Topographie aus, wodurch beispielsweise  
5 der Einsatz der sogenannten Flip-Chip-Technik bei der Montage des Bauelements ermöglicht wird.

### Zeichnungen

10 Die Erfindung wird nachfolgend anhand von nicht notwendigerweise maßstäblichen Zeichnungen näher erläutert, wobei gleiche Bezugszeichen gleiche oder gleichwirkende Schichten oder Teile bezeichnen. Es zeigen:

15 Fig. 1 einen Querschnitt eines erfindungsgemäßen Bauelements mit einem Substrat, einer strukturierten Schicht und einer Kappe; und

Fig. 2 - 10 ein erfindungsgemäßes Verfahren zur Herstellung  
20 des in Fig. 1 dargestellten Bauelements.

In Fig. 1 ist ein Bauelement, beispielsweise ein Beschleunigungssensor, im Querschnitt gezeigt. Auf einem Substrat 3 ist eine strukturierte Schicht 5 angeordnet, in der  
25 Funktionsstrukturen 7 und Stützstrukturen gebildet sind. Die Funktionsstrukturen 7 sind in dem konkreten Ausführungsbeispiel in der strukturierten Schicht 5 als ineinandergreifende Kämme bzw. Interdigitalstrukturen mit feststehenden und ausgelenkbaren Elektroden ausgebildet. Die  
30 Stützstrukturen werden durch einen Rahmen 15, der die Funktionsstrukturen 7 umgibt, und ein Stützelement 6 gebildet, das innerhalb des Rahmens 15 im Bereich der Funktionsstrukturen 7 angeordnet ist und zur mechanischen Stabilität des Schichtsystems beiträgt. In dem konkreten  
35 Ausführungsbeispiel der Fig. 1 ist lediglich ein Stützelement

BEST AVAILABLE COPY



6 dargestellt, das zwischen den beiden gezeigten Funktionsstrukturen 7 angeordnet ist. In Abhängigkeit von der erforderlichen mechanischen Stabilität des Bauelements kann jedoch auch kein Stützelement, ein einziges Stützelement 6 oder mehrere, voneinander beabstandete Stützelemente im Bereich der Funktionsstrukturen vorgesehen sein. Zweckmäßigerweise werden das Stützelement oder die Stützelemente so angeordnet, daß die Bewegungsfreiheit der Funktionsstrukturen 7 nicht beeinträchtigt ist.

10

Eine etwa planflächige Kappe 1 ist über eine Verbindungsschicht 2 mit den Stützstrukturen 6 und 15 der strukturierten Schicht 5 verbunden und überdeckt die Funktionsstrukturen 7. Die Stützstrukturen 6 und 15 sind im Vergleich zu den Funktionsstrukturen 7 erhöht ausgebildet (vgl. Fig. 3) und überragen die Funktionsstrukturen 7 vorzugsweise um etwa 4 - 10  $\mu\text{m}$ , so daß sich Hohlräume 7a im Bereich der Funktionsstrukturen 7 ausbilden bzw. zwischen den Funktionsstrukturen 7 und der Kappe 1 aufspannen.

20

Alternativ oder ergänzend kann auf der Unterseite der Kappe, d.h. auf der Seite der Kappe, die den Funktionsstrukturen 7 zugewandt ist, eine Vertiefung im Bereich der Funktionsstrukturen vorgesehen werden, so daß die Vertiefung den Hohlraum bzw. die Hohlräume 7a über den Funktionsstrukturen 7 ganz oder teilweise bildet (nicht dargestellt).

25

Die Verbindungsschicht 2 ist im Bereich der Funktionsstrukturen 7 entfernt, so daß sich die Spannhöhe H der Hohlräume 7a entsprechend vergrößert. Zweckmäßigerweise ist die Spannhöhe H der Hohlräume 7a stets dergestalt, daß eine zerstörende Auslenkung der Funktionsstrukturen 7 in vertikaler Richtung, d.h. der z-Richtung, unterbunden ist. Die Gesamtspannweite der Hohlräume 7a in lateraler Richtung liegt

30

BEST AVAILABLE COPY

bevorzugt zwischen etwa 100 und 500  $\mu\text{m}$ . Spannweiten bis zu mehreren mm sind jedoch ebenfalls möglich.

An ersten, der Kappe 1 zugeordneten Enden 6a und 15a des  
5 Stützelements 6 und des Rahmens 15 sind Verbindungsflächen 4  
zur Verbindung mit der Verbindungsschicht 2 gebildet. Die  
Verbindungsflächen 4 weisen eine Breite von weniger als 150  $\mu\text{m}$   
und eine hohe Oberflächengüte bzw. eine niedrige  
Oberflächenrauheit auf, die vorzugsweise etwa 40 nm oder weni-  
10 ger beträgt. Das Stützelement 6 und der Rahmen 15 sind mit  
ihren zweiten Enden 6b und 15b mit dem Substrat 3 verbunden.

Zwischen dem Substrat 3 und der strukturierten Schicht 5 sind  
Leiterbahnen 13 vorgesehen, die zur externen Kontaktierung der  
15 Funktionstrukturen 7 dienen. Die Leiterbahnen 13 sind im nahen  
Bereich unterhalb der Funktionsstrukturen 7 platziert und  
verlaufen durch Durchführungen 6c und 15c der Stützstrukturen  
6 und 15, wobei zwei Opferschichten 16 und 17 (siehe Fig. 2)  
die Leiterbahnen 13 gegenüber den Stützstrukturen 6 und 15  
20 isolieren.

Zur externen Kontaktierung der Funktionsstrukturen 7 ist zudem  
im Substrat 3 ein Anschlußbereich 14, weitgehend unmittelbar  
neben den Funktionstrukturen 7, gebildet, der an der der  
25 strukturierten Schicht 5 zugewandten Oberseite 3b des  
Substrats 3 in unmittelbarem Kontakt zu einer Kontaktzunge 18  
der Leiterbahnen 13 steht. Der Anschlußbereich 14 ist  
vollständig von Gräben 14a umgeben, die einen Isolationsrahmen  
bilden. Die Gräben 14a erstrecken sich von der  
30 Substratunterseite bis zur Substratoberseite, so daß der  
hierdurch gebildete Anschlußbereich 14 gegenüber dem Substrat  
3 elektrisch isoliert ist. Die Gräben 14a weisen bevorzugt ein  
hohes Aspektverhältnis, d.h. eine große Tiefe und eine geringe  
laterale Abmessung, auf. Auf dem Anschlußbereich 14 ist an  
35 seiner der strukturierten Schicht 5 abgewandten Rückseite 3a

des Substrats 3 eine Metallisierung 12 aufgebracht, die bevorzugt eine Leiterbahn und ein Kontaktpad zur Befestigung von Bonddrähten bildet, über die eine externe elektrische Verbindung zu den Funktionstrukturen 7 hergestellt wird. Die Metallisierung 12 ist an der Rückseite 3a des Substrats 3 durch eine dielektrische Schicht 22 gegenüber dem Substrat 3 isoliert.

Die Metallisierung 12 und damit die Leiterbahn und das Kontaktpad erstrecken sich bevorzugt vom Anschlußbereich 14 horizontal in Richtung der Funktionstrukturen 7, wodurch die für die Herstellung des Bauelements erforderliche Wafer- bzw. Substratfläche in kostensparender Weise verringert werden kann.

Bei einer bevorzugten Ausführungsform (nicht dargestellt) ist der Anschlußbereich 14 zur externen Kontaktierung der Funktionstrukturen 7 weitgehend mittig unter dem Stützelement 6 hergestellt. Dies führt zu einer Flächeneinsparung der für die Herstellung des Bauelements benötigten Wafer- bzw. Substratfläche, was mit einer kostensparenden Verringerung des Volumens des Bauelements einhergeht. Die Packungsdichte wird erhöht.

Des weiteren ist zwischen dem Substrat 3, der strukturierten Schicht 5 und der Kappe 1 eine leitende Verbindung 8 vorgesehen, um Potentialunterschiede zwischen dem Substrat 3 und der Kappe 1 zu vermeiden. Die leitende Verbindung 8 umfaßt ein Sackloch bzw. einen Durchgang 9, der sich außerhalb des Bereichs der Leiterbahnen 13 durch das Substrat 3, den Rahmen 15 und in einen Teil der Kappe 1 hinein erstreckt. Eine Leitschicht 10, insbesondere eine Metallschicht, die auf dem Boden und den Wandflächen 9a des Durchgangs 9 aufgebracht ist, verbindet das Substrat 3, die strukturierte Schicht 5 und die Kappe 1. Eine Füllschicht 11 verschließt den Durchgang 9 an

BEST AVAILABLE COPY

der Rückseite 3a des Substrats 3 und ebnet die Topographie ein.

Anhand der Fig. 2 bis 10 ist nachfolgend eine mögliche  
5 Prozeßfolge zur Herstellung des in Fig. 1 dargestellten Bauelements im Detail beschrieben. In Fig. 2 ist der Schichtaufbau des Bauelements gezeigt, wie er sich vor einer Tiefenstrukturierung der strukturierten Schicht 5 darstellt. Auf dem Substrat 3, das bevorzugt aus einkristallinem Silizium  
10 hergestellt ist, ist eine erste Opferschicht 16 aufgebracht, die beispielsweise aus einer oder mehreren  $\text{SiO}_2$ -Schichten bestehen kann. Auf der ersten Opferschicht 16 sind Leiterbahnen 13 abgeschieden, die aus polykristallinem Silizium bestehen, das zwecks einer möglichst großen  
15 Leitfähigkeit ausreichend stark dotiert ist. Die erste Opferschicht 16 wird vor dem Aufbringen der Leiterbahnen 13 vorstrukturiert, wobei in die erste Opferschicht 16 eine Kontaktöffnung für die entsprechend geformte Kontaktzunge 18 für jede der Leiterbahnen 13 geätzt wird. Jede der  
20 Kontaktzungen 18 grenzt unmittelbar an das Substrat 3 an und steht in direkter Verbindung mit dem später jeweils im Substrat 3 gebildeten Anschlußbereich 14. Die beschriebene Herstellung der Anschlußbereiche und deren jeweilige externe Kontaktierung (nicht dargestellt) erfolgt in gleicher Weise  
25 wie die Herstellung und externe Kontaktierung des explizit dargestellten Anschlußbereichs 14.

Auf den Leiterbahnen 13 ist eine zweite Opferschicht 17 abgeschieden, die wie die erste Opferschicht 16 als  
30 Isolationsschicht dient und aus  $\text{SiO}_2$  besteht. Bevorzugte Abscheideverfahren zur Erzeugung der zweiten Opferschicht 17 sind CVD-Verfahren, wie unter Verwendung von Tetra-Ethyl-Ortho-Silicat (TEOS). Auf der zweiten Opferschicht 17 wird dann eine dünne Start-Poly-Silizium-Schicht 5a, d.h. eine  
35 polykristalline Siliziumschicht mit der Funktion einer Keim-

bzw. Nukleationsschicht, abgeschieden. Auf die Start-Poly-Si-Schicht 5a wird mit einem Epitaxie-Verfahren eine polykristalline Siliziumschicht, welche die nachfolgend gebildete strukturierte Schicht 5 darstellt, aufgebracht, wobei die Start-Poly-Si-Schicht in der oberen polykristallinen Schicht aufgeht. Die Oberfläche der oberen polykristallinen Schicht 5 wird in einem weiteren Prozeßschritt planarisiert. Dies geschieht durch einen chemisch-mechanischen Polierprozeß (CMP), mit dem eine Oberflächenrauheit erreicht wird, bei der die Oberflächen sich gut mit der Verbindungsschicht 2 durch Anlegen einer Differenzspannung verbinden bzw. anodisch bonden lassen. Die Oberflächenrauheit beträgt hierzu vorzugsweise ca. 2 nm bis ca. 50 nm.

Die Opferschichten 16 und 17 werden zweckmäßigerweise vor dem Abscheiden der Start-Poly-Si-Schicht 5a strukturiert. Dabei werden die erste und die zweite Opferschicht 16 und 17 in Bereichen 16a, in denen in einem späteren Prozeßschritt die Stützstrukturen 6 und 15 gebildet werden, teilweise oder vollständig entfernt, so daß die Stützstrukturen 6 und 15 direkt mit dem Substrat verbunden sind. In der zweiten Opferschicht 17 werden Kontaktöffnungen 17a zur Kontaktierung der Funktionsstrukturen 7 mit den Leiterbahnen 13 gebildet.

Wie in Fig. 3 dargestellt ist, wird mit einem CVD-Verfahren eine Oxidmaske 20 auf die Verbindungsflächen 4 aufgebracht, wobei sich die Verbindungsflächen 4 im Bereich der später gebildeten Stützstrukturen 6 und 15 befinden. Die aus der Gasphase abgeschiedene Oxidmaske 20 dient aufgrund ihrer guten Si/SiO<sub>2</sub> Selektivität als Passivierschicht und gewährleistet, daß die Verbindungsflächen 4 bei einem späteren Plasma-Ätzschritt oder chemisch-mechanischen Polierprozeß (CMP) nicht angegriffen werden. Mit einem Trockenätzverfahren oder mit einem weiteren CMP-Schritt werden in Bereichen 7 der strukturierten Schicht 5, in denen später die

Funktionsstrukturen 7 strukturiert werden planflächige Ausnehmungen 21 geätzt oder geformt. Die Oxidmaske 20 wird anschließend entfernt.

- 5 Alternativ oder ergänzend (nicht dargestellt) kann bzw. können in der Unterseite der Kappe eine oder mehrere Ausnehmungen zur vollständigen oder teilweisen Bildung des Hohlraums über den Funktionsstrukturen, beispielsweise durch Plasmaätzen, erzeugt werden.

10

Bei dem oben beschriebenen Prozeßschritt werden die Stützstrukturen 6 und 15 in bezug auf ihre Höhe (und ggf. in bezug auf ihre Breite) gegenüber den Funktionsstrukturen 7 vorstrukturiert, indem die strukturierte Schicht 5 in den  
15 Bereichen der Funktionsstrukturen 7 um einen definierten Betrag abgedünnt wird.

Alternativ wird zur Erhöhung der Stützstrukturen 6 und 15 lediglich die Verbindungsschicht mit einer entsprechend  
20 größeren Dickenabmessung verwendet (Fall nicht dargestellt).

Sind in der Unterseite der Kappe eine oder mehrere Ausnehmungen vorgesehen, so kann diese bzw. können diese so strukturiert werden, daß die Ausnehmung bzw. die Ausnehmungen  
25 eine oder mehrere Stützelemente aufweist, die zu ein oder mehreren Stützelementen der strukturierten Schicht 5 komplementär sind (nicht dargestellt).

In einem weiteren, in Fig. 4 dargestellten Prozeßschritt  
30 werden die Funktionsstrukturen 7 und das Stützelement 6 mit einem Tiefenstrukturierungsverfahren (Trench-Ätzen) strukturiert. Die zweite Opferschicht 17 und teilweise auch die erste Opferschicht 16 werden unterhalb von den Funktionsstrukturen 7 mit einem Gasphasenätzverfahren  
35 entfernt, so daß auslenkbare Strukturen entstehen.

BEST AVAILABLE COPY



In einem zentralen Schritt erfolgt die hermetisch dichte Verkappung des Bauelement- bzw. Sensor-Schichtsystems, wie in Fig. 5 gezeigt ist. Hierbei wird, wie nachfolgend detailliert beschrieben ist, die Kappe 1, die aus einkristallinem Silizium besteht, mit den Verbindungsflächen 4 der Stützstrukturen 6 und 15 über die Verbindungsschicht 2 chemisch verbunden.

Die Verbindungsschicht 2 besteht aus einem etwa 10 - 50 µm dicken Silikatglas, das vorzugsweise durch chemische und/oder mechanische Behandlung aus einem dickeren, z. B. 500 µm dicken, Silikatglas-Wafer hergestellt wird. Das Silikatglas weist eine definierte Konzentration an ein- oder mehrwertigen Kationen, wie  $\text{Na}^+$  oder  $\text{B}^{3+}$ , und eine entsprechende Konzentration an schwachgebundenen Sauerstoffatomen aufweist. Besonders geeignete Silikate sind Alkali- und Borsilikate.

Um eine hohe Oberflächengüte zwecks optimaler Fügeverbindung zwischen der Kappe 1 und der Verbindungsschicht 2 herstellen zu können, wird die Kappe 1 an der der Verbindungsschicht 2 zugewandten Seite chemisch-mechanisch poliert. Die Oberflächenrauheit beträgt nach dem CMP-Schritt typischerweise unter 2 nm. Dann wird die Kappe 1 mit der Verbindungsschicht 2 durch Anlegen einer Spannungsdifferenz zwischen der Kappe und der Verbindungsschicht 2, typischerweise ca. - 150 bis - 1000 V, wobei die Kappe 1 an Masse liegt, flächig verbunden.

Zusätzlich kann während des Verbindungsschritts eine erhöhte Temperatur von etwa 350 - 450 °C auf die Verbindungsschicht 2 einwirken, um die Beweglichkeit der Metall- oder Bor-Kationen zu erhöhen. Die reduzierte Kationen-Konzentration kann beispielsweise durch eine nachträgliche Temperatureinwirkung ausgeglichen werden. Alternativ oder ergänzend wird die Versorgungsspannung nach dem Verbinden der Kappe 1 mit der Verbindungsschicht 2 umgekehrt, um die entstandene, reduzierte

Konzentration der Kationen an der Grenzfläche der Verbindungsschicht 2 zur Kappe 1 auszugleichen.

Alternativ kann die Verbindungsschicht 2 in Form einer Schmelze auf die Kappe 1 aufgebracht werden, wobei die Schmelz- bzw. Erweichungstemperatur je nach Art des verwendeten Silikatglases in einem Bereich von etwa 600 - 800 °C liegt. In diesem Temperaturbereich findet ebenfalls eine chemische Verbindung zwischen der Kappe 1 und der Verbindungsschicht 2 statt. Nach dem Erstarren wird die Verbindungsschicht 2 wie nachfolgend beschrieben bearbeitet.

Nach der Verbindung der Kappe 1 mit der Verbindungsschicht 2 wird die Verbindungsschicht 2 gemäß der vorstehenden ersten oder zweiten Alternativen an der den Verbindungsflächen 4 zugewandten Seite grobmechanisch abgeschliffen bzw. gedünnt und anschließend mit einem CMP-Schritt poliert, um eine gute Fügeverbindung mit den Verbindungsflächen 4 der strukturierten Schicht 5 herzustellen.

Nach dieser Bearbeitung weist die Verbindungsschicht 2 eine Dicke von etwa 10 - 50 µm und eine Oberflächenrauheit von 2 nm oder weniger auf.

Bei einer weiteren bevorzugten Alternative wird die Verbindungsschicht durch Sputtern von Silikatglas, wie insbesondere Elektronenstrahl-Sputtern, aufgebracht. Zuvor wird die Kappe thermisch oxidiert, wodurch eine ca. 1 bis 2 µm dicke Silizium-Oxidschicht gebildet wird, auf der die Verbindungsschicht durch Sputtern abgeschieden wird. Die Silizium-Oxidschicht verbessert die elektrische Spannungsfestigkeit beim anodischen Bonden. Bevorzugte Schichtdicken für eine durch Sputtern gebildete Verbindungsschicht (Alkali- oder Borsilikat) liegen im Bereich von etwa 300nm bis 2 µm.

BEST AVAILABLE COPY

Die Verbindungsschicht 2 wird allen drei vorgenannten Alternativen im Bereich der Funktionsstrukturen 7 entfernt oder strukturiert, um die Spannhöhe H der Hohlräume 7a zu vergrößern.

5

Die Verbindungsschicht 2 wird zudem im Bereich des später gebildeten Durchgangs 9 der leitenden Verbindung 8 entfernt.

In einem weiteren Prozeßschritt erfolgt das Verbinden der Verbindungsflächen 4 der strukturierten Schicht 5 mit der Verbindungsschicht 2. Die Verbindungsflächen 4 und die Verbindungsschicht 2 werden zueinander justiert und durch die angelegte Versorgungsspannung und/oder unter Temperatureinwirkung chemisch verbunden (anodisches Bonden). Hierzu wird an die Kappe 1 eine im Verhältnis zum Bonden der Kappe 1 mit der Verbindungsschicht 2 geringere Spannung an die

15 Kappe angelegt, um eine übermäßige Auslenkung der Funktionsstrukturen 7 infolge der Bondspannung zu verhindern. Dies können typischerweise - 100 V an der Kappe 1 sein, wobei das Substrat 3 an Masse liegt.

20

Beim Verkappen wird bevorzugt ein Gas mit einem Druck zwischen ca. 1 mbar und 1 bar in die Hohlräume 7a eingeschlossen, wobei über den Druck die Dämpfung der Bewegung der

Funktionstrukturen 7 festgelegt wird. Ergänzend kann auch nach dem Verkappen über eine verschließbare Öffnung eine Flüssigkeit in die Hohlräume 7a eingebracht werden, wobei deren Viskosität das Maß der Dämpfung bestimmt, oder auch ein Gas oder auch ein weiteres Gas.

30 Die Grunddotierung des n-dotierten Substrats 3 ist typischerweise größer als ca.  $5 \cdot 10^{15}/\text{cm}^3$  und der ohmsche Widerstand kleiner als ca.  $1 \text{ Ohm} \cdot \text{cm}$  (niederohmig). Die Dotierung der n-dotierten Funktionschicht 5 liegt bei etwa  $10^{17}/\text{cm}^3$  bis  $10^{19}/\text{cm}^3$ , wodurch ein niederohmiger externer

35 Kontakt mit den Funktionstrukturen 7 ermöglicht ist.

BEST AVAILABLE COPY

Mit dem oben beschriebenen anodischen Bondverfahren wird eine hermetisch dichte Verbindung zwischen der Kappe 1 und der Verbindungsschicht 2 einerseits sowie zwischen der Verbindungsschicht 2 und den Verbindungsflächen 4 bzw. der strukturierten Schicht 5 andererseits hergestellt. Ein besonderer Vorteil des obigen Verfahrens besteht darin, daß relativ kleine Verbindungsflächen 4 benötigt werden. Beispielsweise beträgt die Breite der Verbindungsflächen nur etwa 30 bis 150  $\mu\text{m}$ .

10

Nach dem Verbinden der Kappe 1 mit den Verbindungsflächen 4 erfolgt das mechanische Rückschleifen der Rückseite 3a des Substrats 3 (vgl. Fig. 6). Dies geschieht bevorzugt in mehreren Schritten: Zuerst wird die Rückseite 3a des Substrats 3 mit einer Diamantschleifscheibe großer Körnung grobabrassiv geschliffen und anschließend mit einer Diamantschleifscheibe kleiner Körnung mit entsprechend geringerem Abtrag abgeschliffen. Alternativ kann das Abschleifen auch in einem einzigen Schritt erfolgen. Die Oberflächenrauheit beträgt nach dem Feinschliff etwa 0,1 - 1  $\mu\text{m}$  und die Tiefe von Kristallversetzungen beläuft sich auf etwa 3 - 5  $\mu\text{m}$ .

20

Mit einem CMP-Prozeß werden die Kristallversetzungen entfernt und die Oberflächengüte weiter verbessert. Der Abtrag beträgt hierbei etwa 10  $\mu\text{m}$ . Alternativ können mittels sogenanntem Spin-Etching die Kristallversetzungen im Substrat 3 entfernt werden. Der Abtrag beträgt hierbei typischerweise 5 bis 10  $\mu\text{m}$ . Nach anschließendem CMP-Planarisieren beträgt der Abtrag dann noch typischerweise 3  $\mu\text{m}$ .

25

30

Die Restdicke K des Substrats 3 ist so gewählt, daß die statische Festigkeit des Schichtsystems gewährleistet ist, wobei die Stützelemente 6 die statische Festigkeit erheblich verbessern. Insbesondere bei kleinen Spannweiten kann auf

BEST AVAILABLE COPY

Stützelemente verzichtet werden. Typischerweise ist die Restdicke K des Substrats 3 etwa 80 - 150 µm.

In einem weiteren Prozeßschritt, vgl. Fig. 6, werden mit einem  
5 Tiefenstrukturierungsverfahren (Trench-Ätzen) Gräben 14a für den Anschlußbereich 14 gebildet. Des weiteren wird der Durchgang 9 durch ein bekanntes Tiefenätzverfahren gebildet, wobei sich der Durchgang 9 durch das Substrat 3, die strukturierte Schicht 5 und zum Teil in die Kappe 1 hinein  
10 erstreckt.

Wie in Fig. 7 dargestellt ist, wird die Leitschicht 10 auf die Bodenfläche und die Wandflächen 9a des Durchgangs 9 bzw. Sacklochs aufgebracht, indem sie auf der Rückseite 3a des  
15 Substrats 3 abgeschieden wird. Die Leitschicht 10, die vorzugsweise eine Metallschicht ist, stellt eine niederohmige Verbindung des Substrats 3 mit der Kappe 1 und der strukturierten Schicht 5 her. Anschließend wird in den Durchgang 9 bzw. das Sackloch eine Füllschicht 11 eingebracht,  
20 die den Durchgang 9 verschließt und die Oberflächentopographie einebnet. Bei der Füllschicht 11 handelt es sich bevorzugt um eine Silizium-Oxid-Schicht. Diese wird bevorzugt durch ein sogenanntes Spin-On-Verfahren bzw. durch Einbringen und Aushärten eines Füllstoffs, der Silizium-Oxid enthält,  
25 hergestellt.

Mit einem Plasmaätzverfahren wird, wie in Fig. 8 gezeigt ist, die Füllschicht 11 rückgeätzt. Anschließend wird die Leitschicht 10 auf der Rückseite 3a des Substrats 3  
30 naßchemisch entfernt. Dabei ist darauf zu achten, daß die Leitschicht 10 im Bereich der Gräben 14a vollständig entfernt wird und im Bereich des Durchgangs 9 nicht zu stark überätzt wird, damit sich keine unerwünschten Topographien ausbilden.

Entsprechend Fig. 9 wird die dielektrische Schicht 22 mit einem CVD-Verfahren auf die Rückseite 3a des Substrats 3 aufgebracht. Die dielektrische Schicht 22 dient als Isolationsschicht und isoliert die nachfolgend aufgebrachte 5 Metallisierung 12 gegenüber dem Substrat 3. Im Bereich des Anschlußbereichs 14 ist in der dielektrischen Schicht 22 eine Kontaktöffnung 23 zur externen Kontaktierung des Anschlußbereichs 14 gebildet. Anschließend wird, wie in Fig. 10 dargestellt ist, die Metallisierung 12 auf die 10 dielektrische Schicht 22 und über die Kontaktöffnung 23 auf den Anschlußbereich 14 aufgebracht und vorzugsweise naßchemisch zu einer Leiterbahn bzw. einem Anschluß wird strukturiert, wobei sich das Anschlußpad vorzugsweise in Richtung der Mitte des Bauelements erstreckt. Hierdurch läßt 15 sich die zur Herstellung des Bauelements benötigte Substratfläche und dessen Volumen kostensparend verringern.

Beispielsweise ist es möglich, Sensor- bzw. Aktuator-Strukturen zusammen mit einer elektronischen Auswerteschaltung 20 (nicht dargestellt) in die Kappe 1 und/oder in die strukturierte Schicht 5 zu integrieren.

Insgesamt zeichnet sich das oben beschriebene Bauelement durch ein kompaktes und robustes Design aus, das die Integration 25 einer Vielzahl von Funktionsstrukturen und zugleich eine ausreichende Bewegungsfreiheit der Funktionsstrukturen gestattet.

Das oben beschriebene Verfahren ermöglicht die Herstellung 30 einer Vielzahl von Bauelementen, die eine hermetisch dichte Verkappung erfordern. Der für die Verkappung bzw. die Verbindungsflächen benötigte ist dabei auf ein Minimum reduziert.

BEST AVAILABLE COPY



## Bezugszeichenliste:

- 1 Kappe
- 2 Verbindungsschicht
- 5 3 Substrat
- 3a Rückseite des Substrats
- 3b Oberseite des Substrats
- 4 Verbindungsfläche
- 5 strukturierte Schicht mit feststehenden
- 10 Funktionstrukturen eines Sensors
- 5a Start-Poly-Si-Schicht
- 6 Stützelement
- 6a erstes Ende des Stützelements (Stützelement)
- 6b zweites Ende des Stützelements
- 15 6c Durchführung des Stützelements
- 7 auslenkbare Funktionstrukturen des Sensors in der strukturierten Schicht 5
- 7a Hohlraum
- 8 leitende Verbindung
- 20 9 Durchgang
- 9a Wandfläche
- 10 Leitschicht
- 11 Füllschicht
- 12 Metallisierung
- 25 13 Leiterbahnen aus niederohmigem Polysilizium
- 14 Anschlußbereich
- 14a Gräben bzw. Isolationsgräben
- 15 Rahmen
- 15a erstes Ende des Rahmens
- 30 15b zweites Ende des Rahmens
- 15c Durchführung im Rahmen
- 16 erste Opferschicht
- 16a Bereiche der ersten Opferschicht
- 17 zweite Opferschicht
- 35 17a Kontaktöffnungen der zweiten Opferschicht

BEST AVAILABLE COPY

- 18 Kontaktzunge
- 20 Oxidmaske
- 21 Ausnehmung, die einen Teil des Hohlraums 7a bildet
- 22 dielektrische Schicht
- 5 23 Kontaktöffnung der dielektrischen Schicht
- H Spannhöhe, die durch die Gesamtdicke der  
Verbindungsschicht 2 und der Tiefe der Ausnehmung 21  
bestimmt ist
- K Restdicke des Substrats 3

BEST AVAILABLE COPY

ROBERT BOSCH GMBH

Postfach 30 02 20

D-70442 Stuttgart

5

-----  
Mikromechanisches Bauelement sowie ein Verfahren zur  
Herstellung

10 eines mikromechanischen Bauelements  
-----

Patentansprüche

15 1. Mikromechanisches Bauelement mit

- einem Substrat (3);

20 - mindestens einer strukturierten Schicht (5), wobei in  
der strukturierten Schicht (5) mindestens eine  
Funktionsstruktur (7) gebildet ist;

25 - einer Kappe (1), die die Funktionsstruktur (7)  
überdeckt, wobei zwischen der Kappe (1) und der  
Funktionsstruktur (7) mindestens ein Hohlraum (7a)  
gebildet ist;

- einer Verbindungsschicht (2), die die Kappe (1) mit der  
strukturierten Schicht (5) verbindet,

30

dadurch gekennzeichnet,

daß die Verbindungsschicht (2) durch ein anodisch  
bondbares Glas, d.h. ein Bondglas, gebildet ist, das  
35 insbesondere eine Dicke im Bereich von 300 nm bis 100 µm,  
vorzugsweise im Bereich von 300 nm bis 50 µm, aufweist.

BEST AVAILABLE COPY

2. Mikromechanisches Bauelement nach Anspruch 1, dadurch gekennzeichnet, daß das Bondglas (2) über eine definierte Ionenkonzentration verfügt, wie insbesondere ein Glas, das Alkalisilikat und/oder Borsilikat aufweist.

5

3. Mikromechanisches Bauelement, insbesondere nach Anspruch 1 oder 2, mit

- einem Substrat (3);

10

- mindestens einer strukturierten Schicht (5), wobei in der strukturierten Schicht (5) mindestens eine Funktionsstruktur (7) gebildet ist;

15

- einer Kappe (1), die die Funktionsstruktur (7) überdeckt, wobei zwischen der Kappe (1) und der Funktionsstruktur (7) mindestens ein Hohlraum (7a) gebildet ist;

20

- einer Verbindungsschicht (2), die die Kappe (1) mit der strukturierten Schicht (5) verbindet,

dadurch gekennzeichnet,

das in dem Substrat (3) mindestens ein Anschlußbereich (14) zur externen Kontaktierung der Funktionsstruktur (7) gebildet ist, wobei der Anschlußbereich (14) insbesondere durch einen durch Gräben (14a) gebildeten Isolationsrahmen gegenüber dem Substrat (3) elektrisch isoliert ist.

30

4. Mikromechanisches Bauelement nach Anspruch 3, dadurch gekennzeichnet, daß der Anschlußbereich (14) durch einen Teil des Substrats (3) gebildet ist, wobei das Substrat (3) derart dotiert ist, daß der Anschlußbereich (14)

35

BEST AVAILABLE COPY

niederohmig ist.

5. Mikromechanisches Bauelement nach einem der Ansprüche 1 bis 4, dadurch gekennzeichnet, daß zwischen dem Substrat (3) und der Kappe (1) mindestens ein Stützelement (6) in der strukturierten Schicht (5) vorgesehen ist, das vorzugsweise weitgehend in der Mitte des Hohlraums (7a) angeordnet ist.
- 10 6. Mikromechanisches Bauelement nach einem der Ansprüche 3 bis 5, dadurch gekennzeichnet, daß das Substrat (3) eine Dicke zwischen ca. 80 µm und 150 µm, vorzugsweise ca. 80 µm bis 100 µm, aufweist.
- 15 7. Mikromechanisches Bauelement nach einem der Ansprüche 1 bis 6, dadurch gekennzeichnet, daß der Anschlußbereich (14) neben der Funktionsstruktur (7) oder unter dem Stützelement (6) in dem Substrat (3) angeordnet ist.
- 20 8. Mikromechanisches Bauelement, insbesondere nach einem der Ansprüche 1 bis 7, mit einem Substrat (3) und einer strukturierten Schicht (5), die zumindest auf einem Teil des Substrats (3) vorgesehen ist und zumindest teilweise von wenigstens einer Kappe (1) überdeckt ist, dadurch gekennzeichnet,  
25 daß zwischen der Kappe (1) und dem Substrat (3) eine leitende Verbindung (8) vorgesehen ist, die sich durch die strukturierte Schicht (5) hindurch erstreckt und insbesondere im Bereich einer Rahmenstruktur (15) der strukturierten Schicht (5) angeordnet ist.  
30
9. Mikromechanisches Bauelement nach Anspruch 8, dadurch gekennzeichnet,  
35 daß die leitende Verbindung (8) durch einen Durchgang (9) bzw. ein Sackloch gebildet ist, auf dessen Bodenfläche

und Wandflächen (9a) eine Leitschicht (10) aufgebracht ist, wobei der Durchgang (9) und/oder die Leitschicht (10) vorzugsweise mittels wenigstens einer Isolationsschicht (22) an der der strukturierten Schicht (5) abgewandten Seite (3a) des Substrats (3) abgedeckt ist/sind.

10. Mikromechanisches Bauelement nach Anspruch 3 oder 4, dadurch gekennzeichnet,  
daß der Anschlußbereich (14) an der der strukturierten Schicht (5) zugewandten Seite (3b) des Substrats (3) in Kontakt zu mindestens einer Leiterbahn (13) steht und an der der strukturierten Schicht (5) abgewandten Seite (3a) des Substrats (3) mit einer Metallisierung (12) versehen ist, wobei zwischen der Metallisierung (12) und dem Substrat (3) mindestens eine Isolationsschicht (22) vorgesehen ist.

11. Mikromechanisches Bauelement nach einem der Ansprüche 1 bis 10, dadurch gekennzeichnet,  
daß die Kappe (1), das Substrat (3) und die strukturierte Schicht (5) zumindest teilweise aus demselben Material, insbesondere aus Silizium hergestellt sind, wobei die Kappe (1) und das Substrat (3) vorzugsweise aus einkristallinem Silizium und die strukturierte Schicht (5) vorzugsweise aus polykristallinem Silizium hergestellt sind.

12. Verfahren zur Herstellung eines mikromechanischen Bauelements mit wenigstens einer strukturierten Schicht (5), wobei mindestens eine Kappe (1) vorgesehen ist, die die strukturierte Schicht (5) zumindest teilweise überdeckt und mit Bereichen (4) der strukturierten Schicht (5) verbunden ist, dadurch gekennzeichnet,



daß zur Verbindung der Kappe (1) mit den Bereichen (4) der strukturierten Schicht (5) eine Verbindungsschicht (2) vorgesehen ist, wobei das Material der Verbindungsschicht (2) derart gewählt wird, daß durch Anlegen einer elektrischen Spannung und/oder unter Temperatureinwirkung eine chemische Verbindung zwischen der Verbindungsschicht (2) und den Bereichen (4) der strukturierten Schicht (5) einerseits und/oder zwischen der Verbindungsschicht (2) und der Kappe (1) andererseits bewirkt wird.

13. Verfahren nach Anspruch 12, dadurch gekennzeichnet, daß die Verbindung der Kappe (1) mit den Bereichen (4) der strukturierten Schicht (5) in zwei oder mehreren Schritten erfolgt, wobei in einem ersten Schritt die Kappe (1) mit der Verbindungsschicht (2) chemisch verbunden wird und in einem weiteren Schritt die Bereiche (4) der strukturierten Schicht (5) mit einer der strukturierten Schicht (5) zugewandten Seite der Verbindungsschicht (2) chemisch verbunden werden, wobei etwa gleichzeitig mit dem letztgenannten Verbindungsschritt ein Gas oder Vakuum in mindestens einen zwischen der Kappe (1) und der strukturierten Schicht (5) gebildeten Hohlraum (7a) eingeschlossen wird.

14. Verfahren nach Anspruch 12 oder 13, dadurch gekennzeichnet, daß für die Verbindungsschicht (2) ein Glas oder ein glasartiges Material mit definierter Ionenkonzentration gewählt wird, wie insbesondere ein Alkali- oder Borsilikat.

15. Verfahren nach einem der Ansprüche 12 bis 14, dadurch gekennzeichnet,

daß die Bereiche (4) der strukturierten Schicht (5) Verbindungsflächen (4) aufweisen, wobei die Verbindungsflächen (4) und die der Verbindungsschicht (2) zugewandte Seite der Kappe (1) vor dem Verbinden chemisch und/oder mechanisch behandelt werden, so daß sie eine vergleichsweise niedrige Oberflächenrauheit aufweisen, die vorzugsweise etwa 2 bis 40 nm beträgt.

16. Verfahren nach einem der Ansprüche 12 bis 15, dadurch gekennzeichnet, daß die Verbindungsschicht (2) vor dem Verbinden mit den Verbindungsflächen (4) der strukturierten Schicht (5) chemisch und/oder mechanisch behandelt wird, so daß sie eine niedrige Oberflächenrauheit aufweist, die vorzugsweise etwa 2 nm oder weniger beträgt.

17. Verfahren nach einem der Ansprüche 12 bis 16, dadurch gekennzeichnet, daß die Verbindungsschicht (2) aus einem Glaswafer durch Reduzierung von dessen Dicke auf etwa 10 bis 50  $\mu\text{m}$  oder aus einer Silikatglas-Schmelze, die vorzugsweise Alkali- oder Borsilikat aufweist, oder durch das Aufputtern einer Glasschicht, vorzugsweise im Bereich von etwa 300 nm bis 2  $\mu\text{m}$ , gebildet wird.

BEST AVAILABLE COPY

ROBERT BOSCH GMBH  
Postfach 30 02 20  
D-70442 Stuttgart

5

---

Mikromechanisches Bauelement sowie ein Verfahren zur  
Herstellung eines  
mikromechanischen Bauelements

---

10

Zusammenfassung

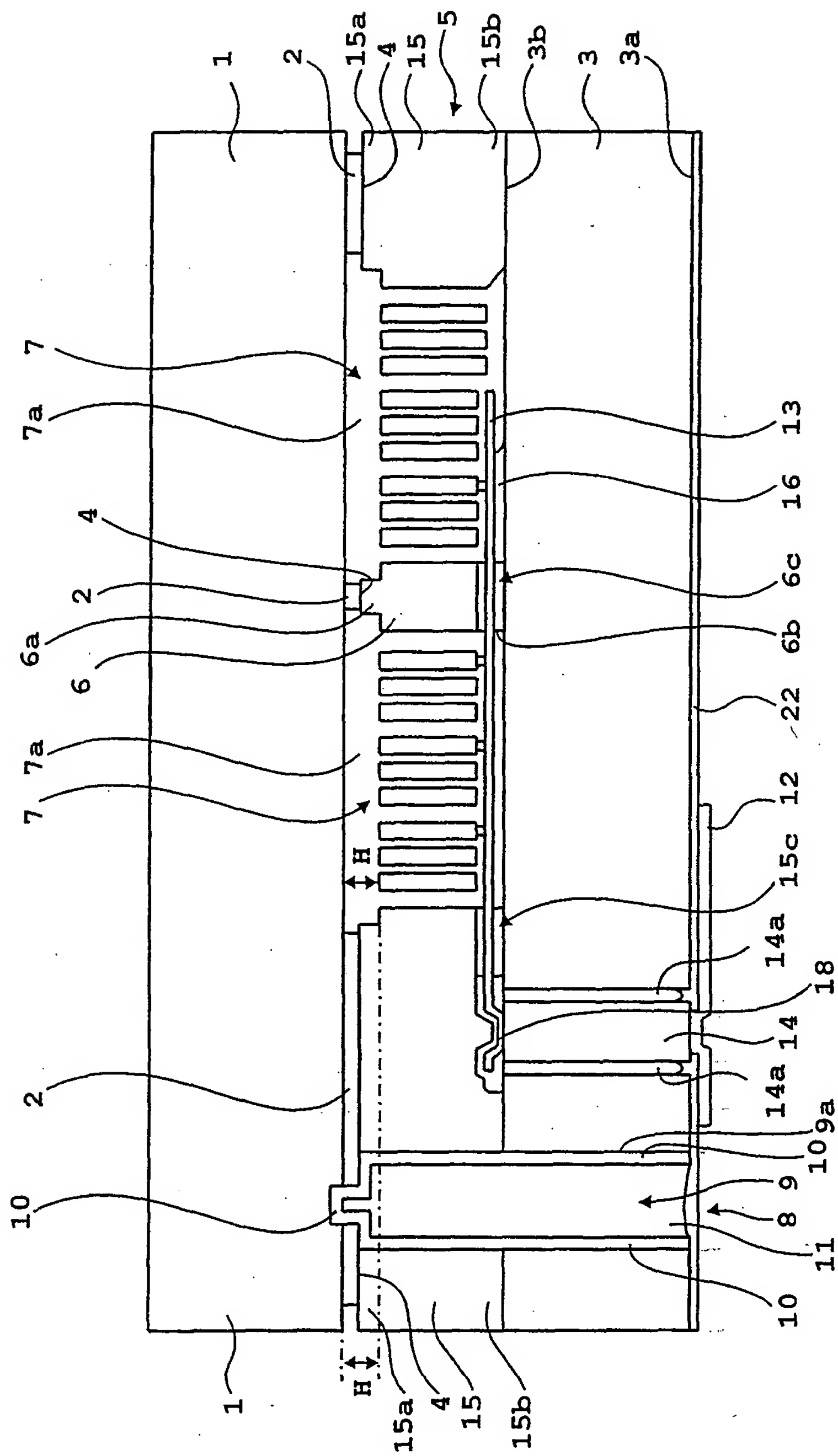
5 Die Erfindung geht aus von einem mikromechanischen Bauelement mit einem Substrat, mindestens einer strukturierten Schicht (5), wobei in der strukturierten Schicht (5) mindestens eine Funktionsstruktur (7) gebildet ist, und einer Kappe (1), die die Funktionsstruktur (7) überdeckt, wobei zwischen der Kappe (1) und der Funktionsstruktur (7) mindestens ein Hohlraum (7a) gebildet ist, und eine Verbindungsschicht (2) die Kappe (1) mit der strukturierten Schicht (5) verbindet, sowie von einem Verfahren zur Herstellung eines mikromechanischen Bauelements nach der Gattung des betreffenden unabhängigen Patentan-  
25 spruchs.

Um ein kompaktes und solides Bauelement zu erhalten, ist erfindungsgemäß vorgesehen, daß die Verbindungsschicht (2) durch ein anodisch bondbares Glas, d.h. ein Bondglas, gebildet ist, das insbesondere eine Dicke im Bereich von 300 nm bis 100 µm, vorzugsweise im Bereich von 300 nm bis 50 µm, aufweist.

(Fig. 1)

35

BEC ..... COPY



**BEST AVAILABLE COPY**

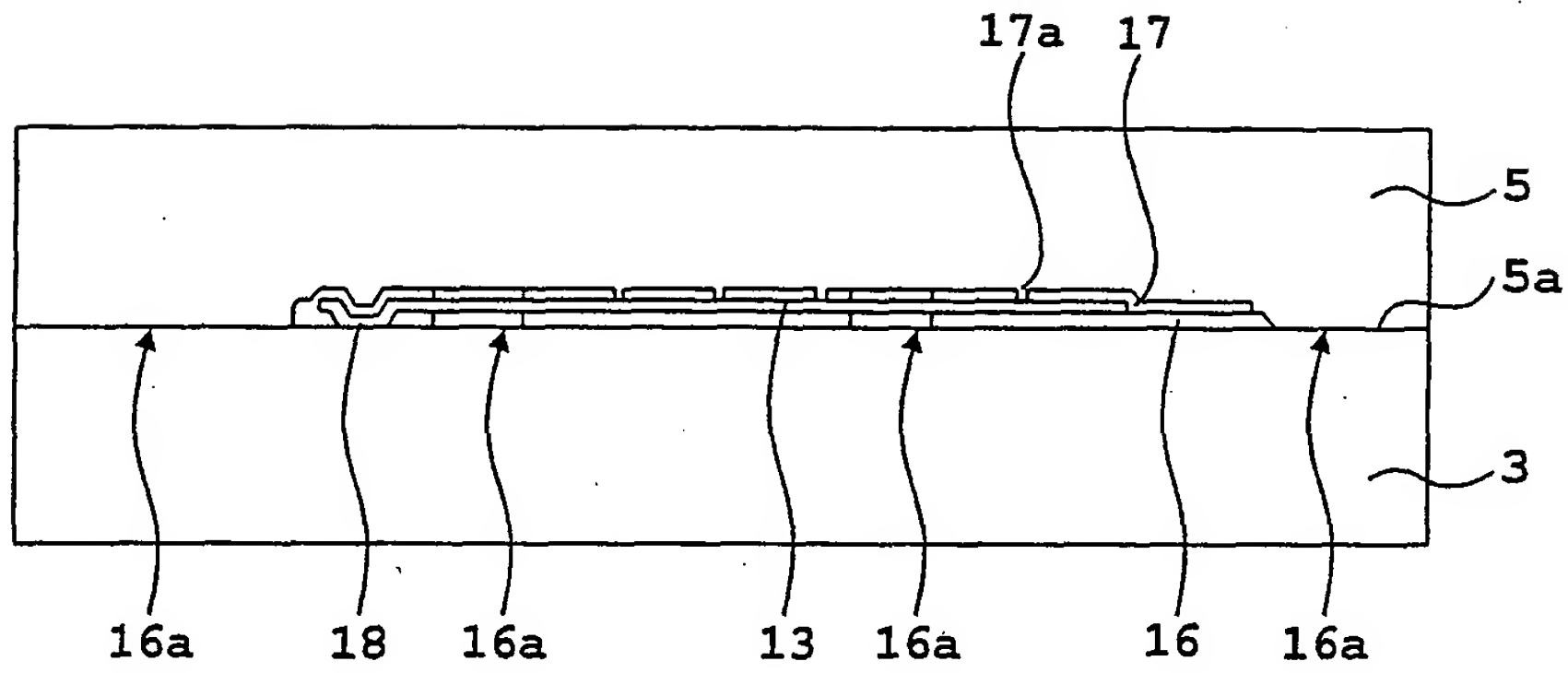


Fig.2

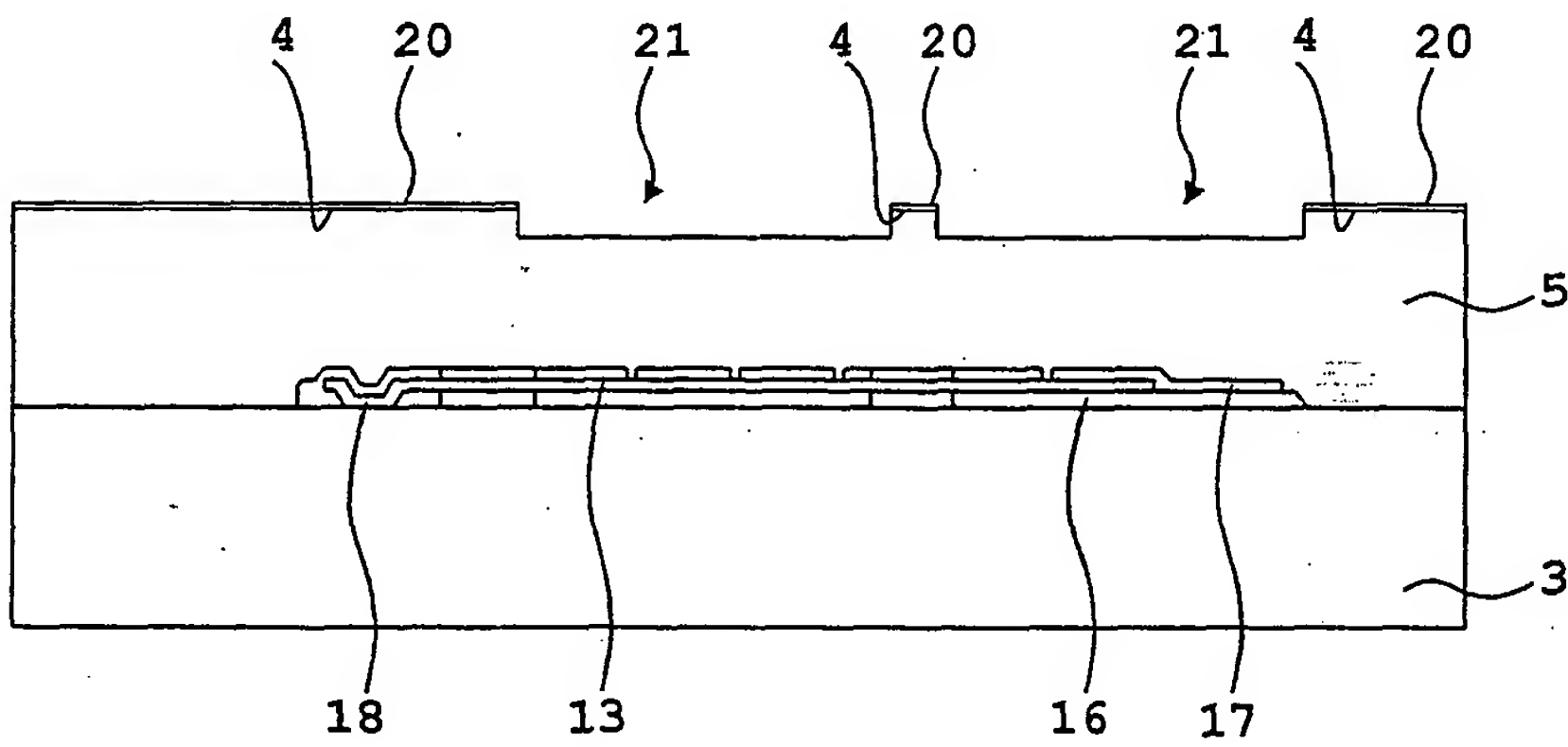


Fig.3

BEST AVAILABLE COPY

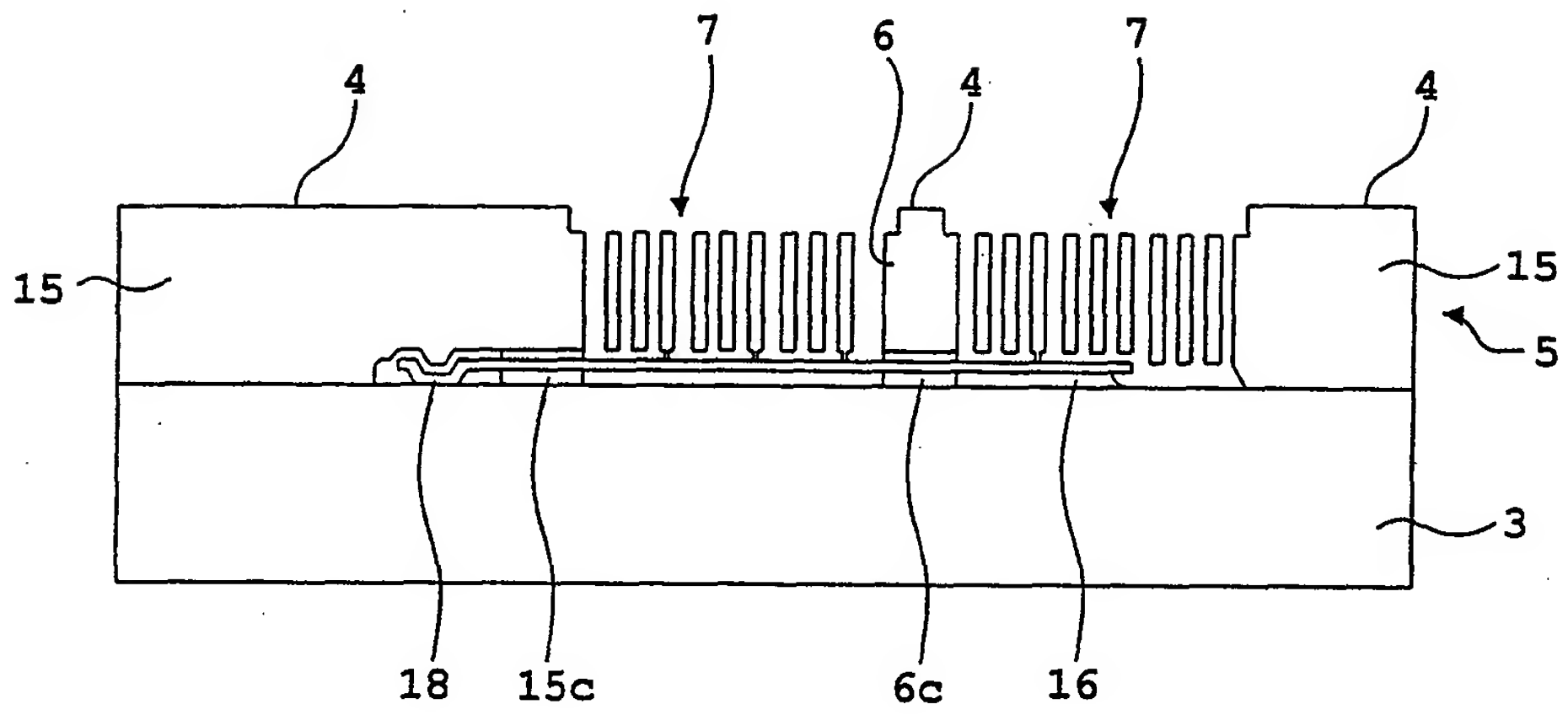


Fig. 4

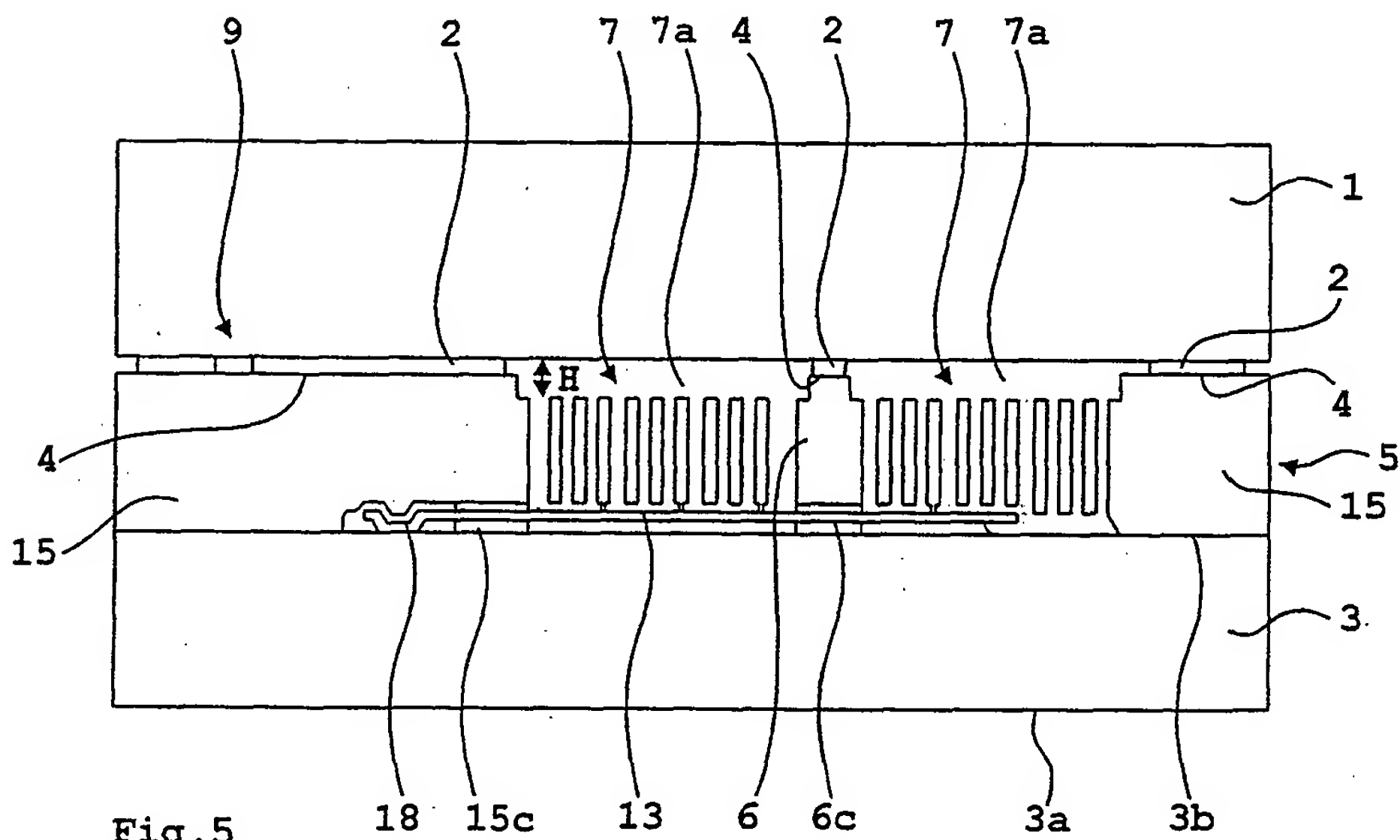


Fig. 5

**BEST AVAILABLE COPY**



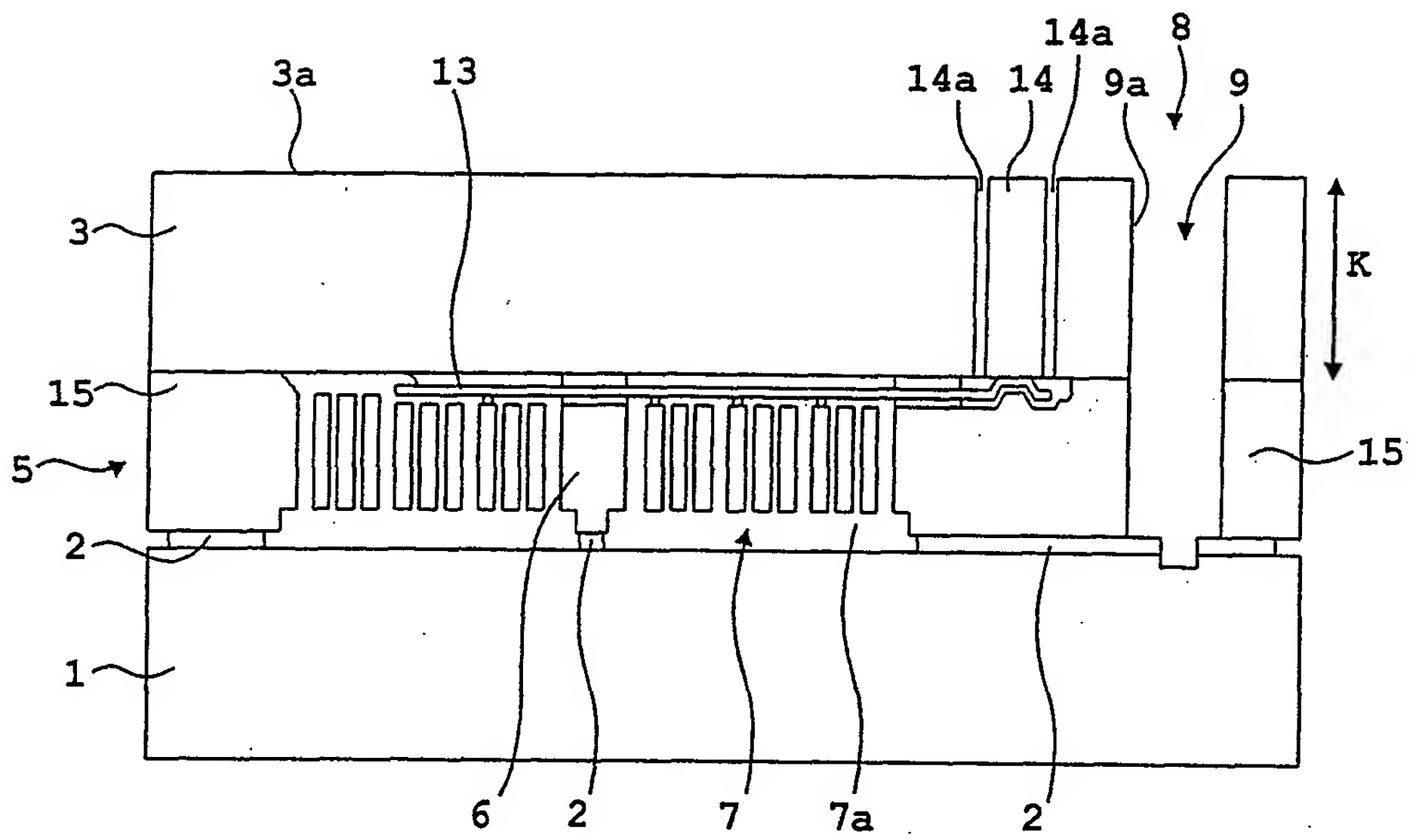


Fig. 6

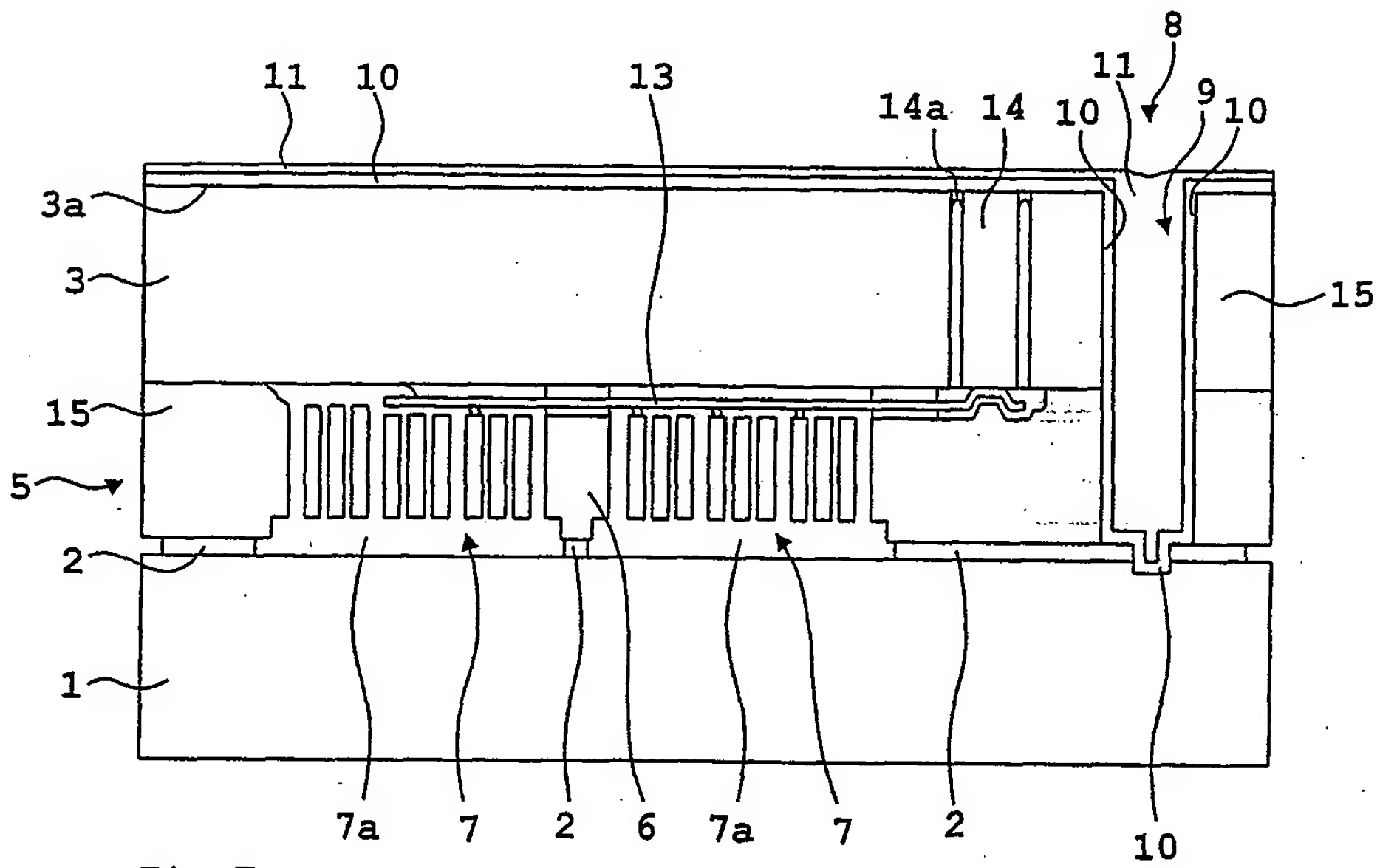


Fig. 7

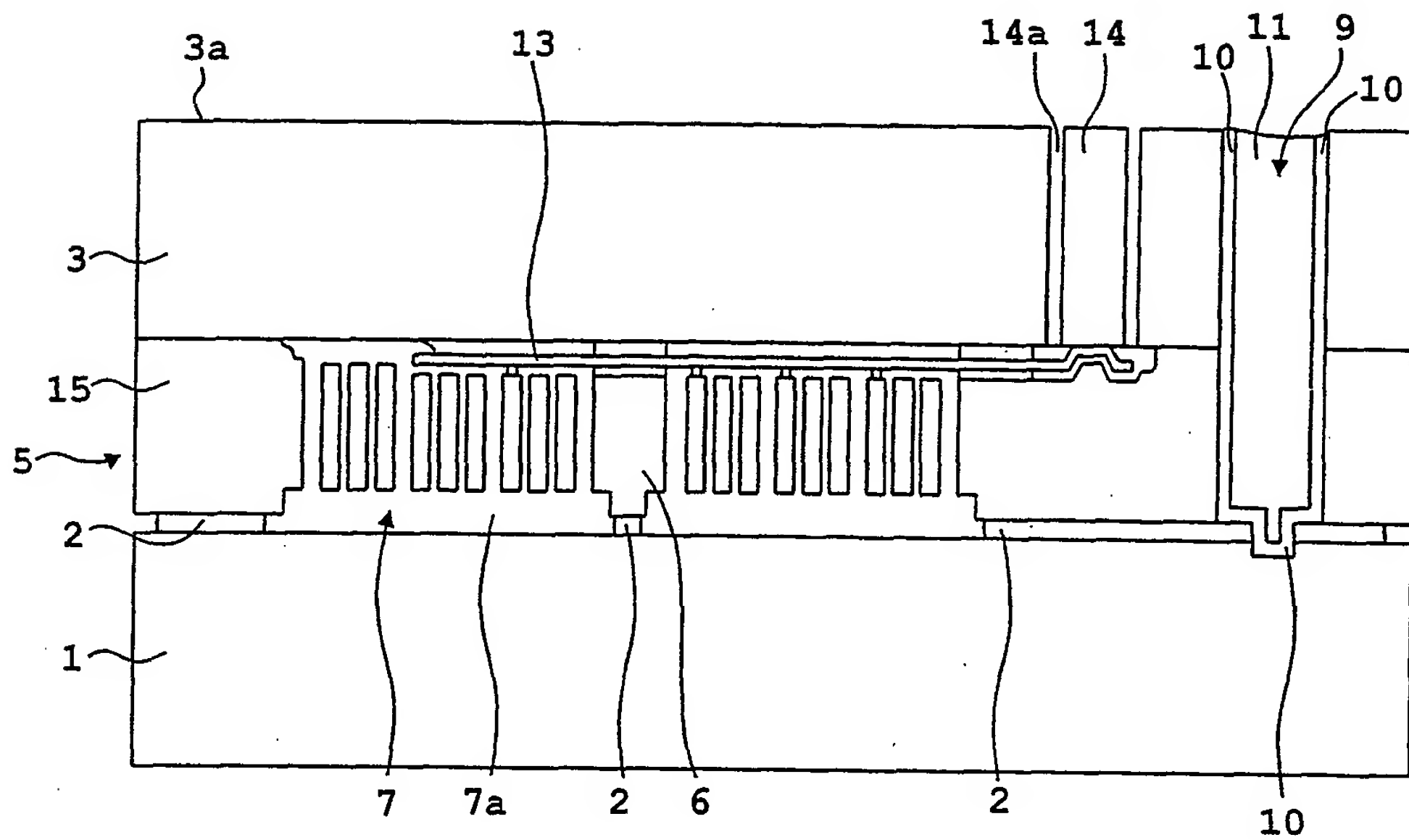


Fig. 8

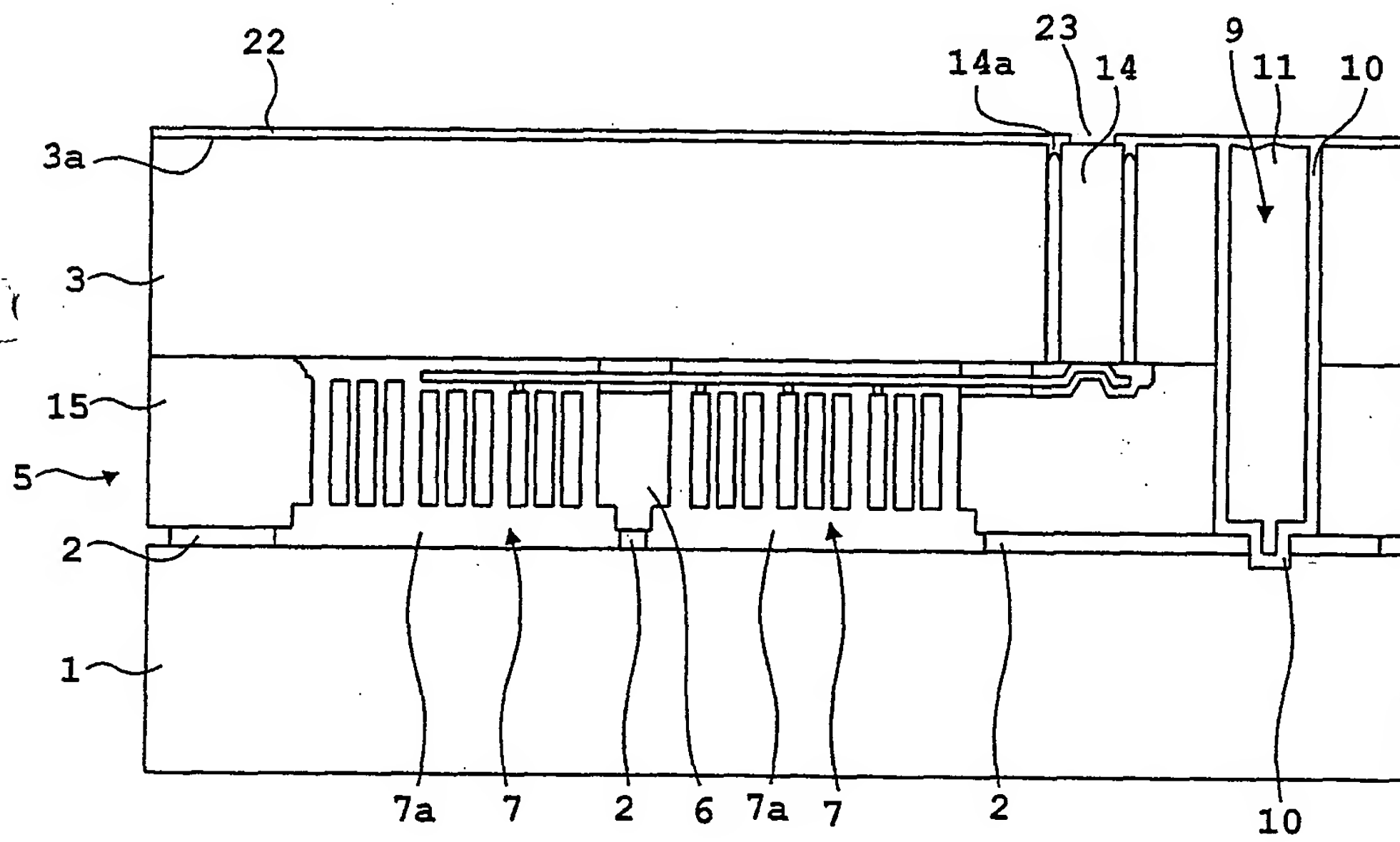


Fig. 9

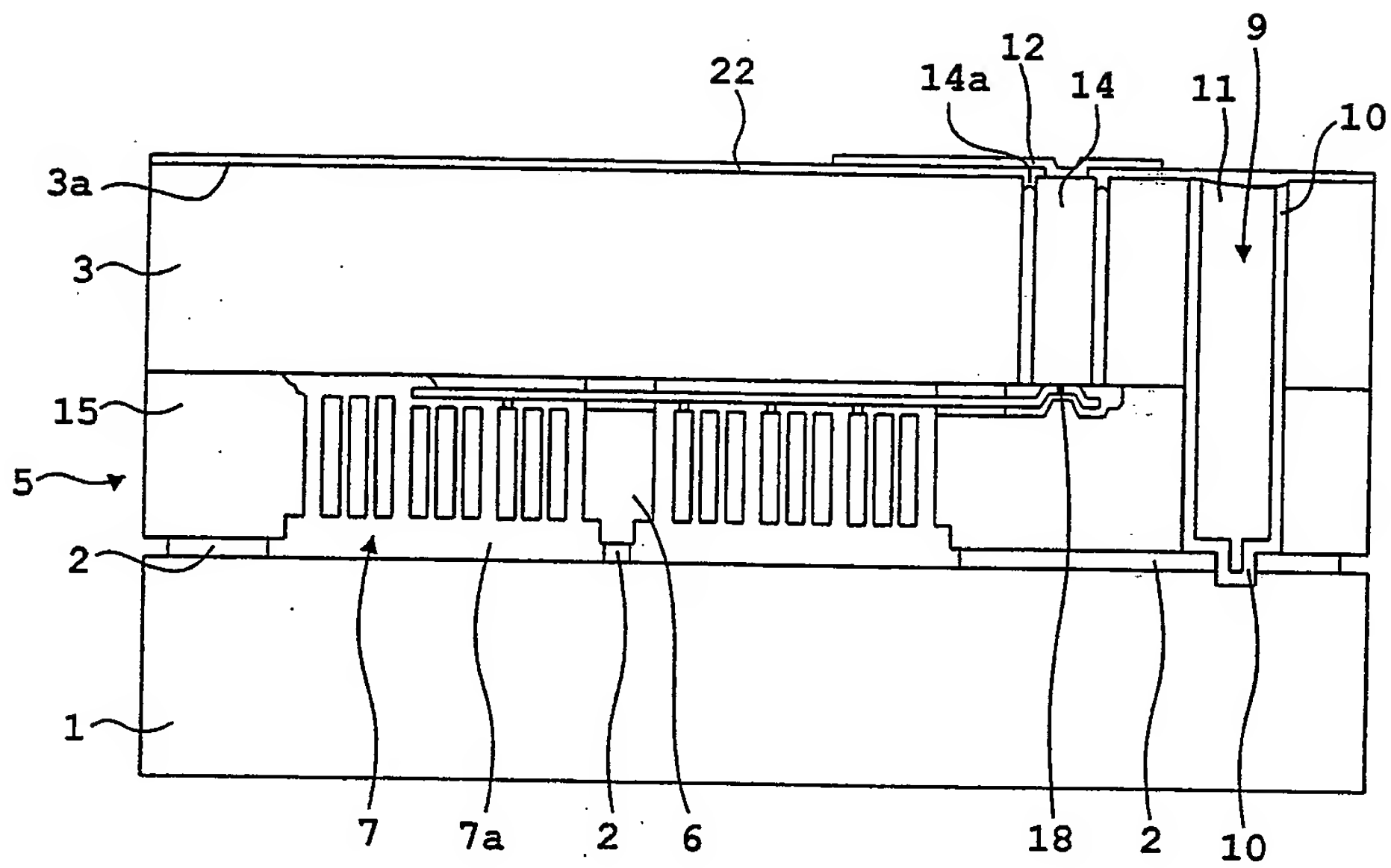


Fig.10

**BEST AVAILABLE COPY**